

УДК 544.55

## ДИАГНОСТИКА ПЛАЗМЫ БАРЬЕРНОГО РАЗРЯДА ВО ВЛАЖНОМ АРГОНЕ МЕТОДОМ КРОСС-КОРРЕЛЯЦИОННОЙ СПЕКТРОСКОПИИ

П.А. Татаренко, К.В. Козлов, В.Г. Самойлович, М.В. Соколова\*

(кафедра физической химии; e-mail: kozlov@kge.msu.ru)

**Работа посвящена изучению барьера разряда во влажном аргоне. Представлены результаты применения метода кросс-корреляционной спектроскопии как способа диагностики плазмы газовых разрядов. Проанализирован спектр излучения барьера разряда во влажном аргоне. Установлено, что развитие микроразрядов в рассматриваемой системе протекает по многостадийному механизму, ключевую роль в котором играют электронно-возбужденные метастабильные атомы аргона.**

**Ключевые слова:** барьерный разряд, кросс-корреляционная спектроскопия.

Барьерный разряд во влажном аргоне – эффективный генератор химически активной плазмы – в последние годы находит все более широкое применение [1]. Оптимизация параметров этого плазмохимического реактора и поиск новых областей его практического использования требуют глубокого понимания механизма развития разряда и кинетики протекающих в нем элементарных процессов, что обусловливает необходимость проведения диагностики плазмы в рассматриваемой системе. Метод кросс-корреляционной спектроскопии зарекомендовал себя как весьма информативный способ диагностики плазмы газовых разрядов [2, 3]. В настоящей работе представлены результаты применения этого метода для исследования барьера разряда во влажном аргоне.

### Эксперимент

Схема экспериментальной установки изображена на рис. 1. Центральное звено установки – разрядная ячейка, куда после предварительной пропускки осущенным воздухом из газотранспортной системы подается рабочий газ, попадающий в пространство между металлическими электродами, покрытыми слоем стекла толщиной около 1 мм (рис. 2). Специальная форма электродов с полусферической рабочей поверхностью обеспечивает локализацию следующих друг за другом микроразрядов, если выбрана такая амплитуда напряжения, что за один полупериод напряжения возникает единственный микроразряд (этот спо-

соб локализации барьера разряда подробно описан в работах [2, 4]). Для измерений использовали синусоидальное напряжение питания частотой 5 кГц при небольшом избыточном давлении ( $p = 1,02$  атм.). Межэлектродный зазор (кратчайшее расстояние между поверхностями стекла) составляет 1,9 мм. В качестве рабочего газа использовали смесь аргона (класс “ВЧ”) с парами воды, получаемую на выходе из барботера, включенного в газотранспортную систему. Подробное описание метода кросс-корреляционной спектроскопии дано в монографии [3]. Основная идея этого метода заключается в определении динамики изменения интенсивности излучения  $I(t)$  исследуемого объекта (периодически повторяющегося процесса) путем измерения корреляции  $C(t)$  между двумя оптическими сигналами, поступающими на детекторы от одного и того же источника света. В качестве детекторов мы использовали фотонэлектронные умножители ФЭУ 136 и ФЭУ 106, обозначенные на рис. 1 как ФЭУ 1 и ФЭУ 2 соответственно. Синхронизирующий сигнал, регистрируемый ФЭУ 1, запускает время-амплитудный преобразователь (ВАП) системы время-коррелированного счета фотонов «ФЛУОР-99» [5], задавая тем самым относительную временную шкалу. Второй оптический сигнал, прошедший через монохроматор, детектируется ФЭУ 2, который работает в режиме счета единичных фотонов. Сигнал от ФЭУ 2 останавливает развертку ВАП, и система «ФЛУОР-99» таким образом производит

\*ГОУВПО МЭИ (ТУ).

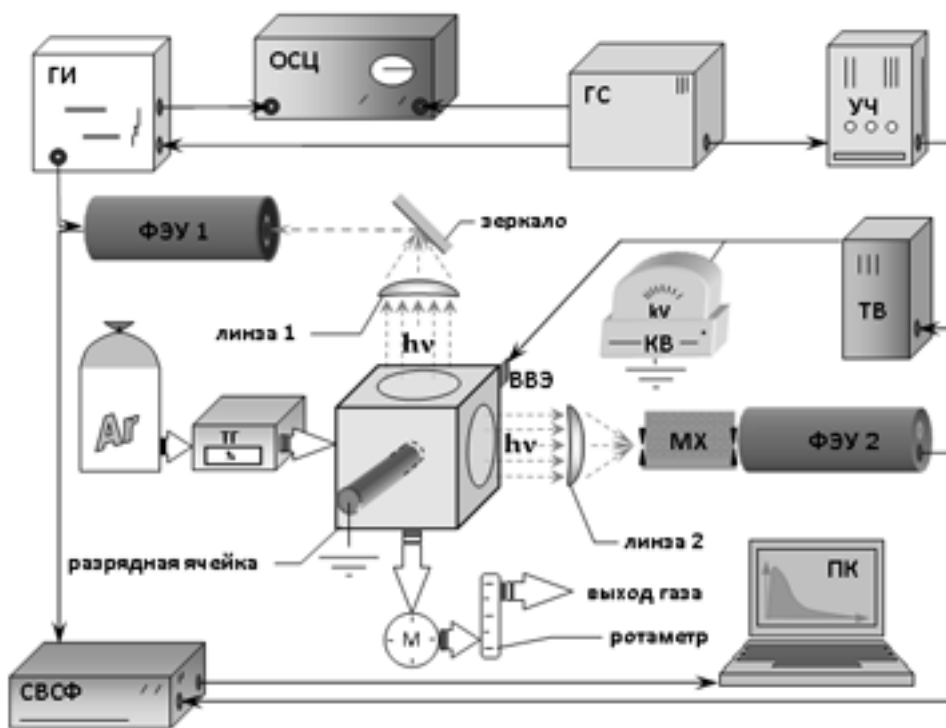


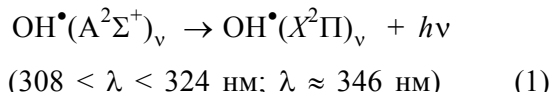
Рис. 1. Схема экспериментальной установки: ГИ – генератор импульсов Г5-54; ОСЦ – осциллограф С1-55; ГС – генератор сигналов прямоугольной формы, программируемый Г6-31; УЧ – усилитель звуковой частоты УПВ-5; ТВ – трансформатор высоковольтный; КВ – киловольтметр С96; ВВЭ – высоковольтный электрод; МХ – монохроматор МДР-2; ТГ – термогигрометр «ИВА-6Б»; ФЭУ 1 – фотоэлектронный умножитель ФЭУ 136; ФЭУ 2 – фотоэлектронный умножитель ФЭУ 106; СВСФ – система время-коррелированного счета фотонов «ФЛУОР-99» [5]; М – манометр; ПК – персональный компьютер

измерение времени задержки этого сигнала относительно синхронизирующего импульса. Полученное статистическое распределение  $C(t)$  – накопленные корреляции – при соблюдении ряда условий, подробно рассмотренных в монографии [3], воспроизводит  $I(t)$  с достаточной точностью. Экспериментальная установка обеспечивает пространственное разрешение 0,1 мм и временное разрешение от 42 пс/канал до 36 нс/канал в зависимости от выбора шкалы ВАП, содержащей 1024 канала. Приведенные ниже результаты из-

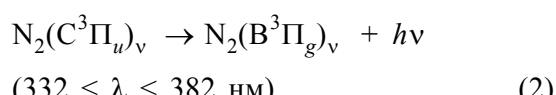
мерений радиационной кинетики барьерного разряда во влажном аргоне были получены на шкале ВАП 1,63 мкс с разрешением по времени 1,6 нс/канал.

### Обсуждение результатов

Анализ приведенного на рис. 3 спектра барьерного разряда во влажном аргоне ( $[H_2O] = 220$  ppm), измеренного в диапазоне длин волн от 200 до 850 нм, показал, что помимо пиков аргона в нем присутствуют полосы радикала  $OH^\bullet$ :



и, несмотря на малое содержание примеси  $N_2$  в рабочей газовой смеси (10 ppm), полосы второй положительной системы азота:



Кроме сигналов при  $\lambda = 309$  нм и  $\lambda = 337$  нм, соответствующих наблюдаемым максимумам полос

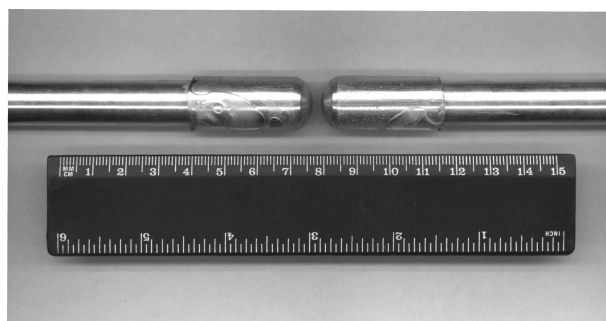


Рис. 2. Конфигурация электродов

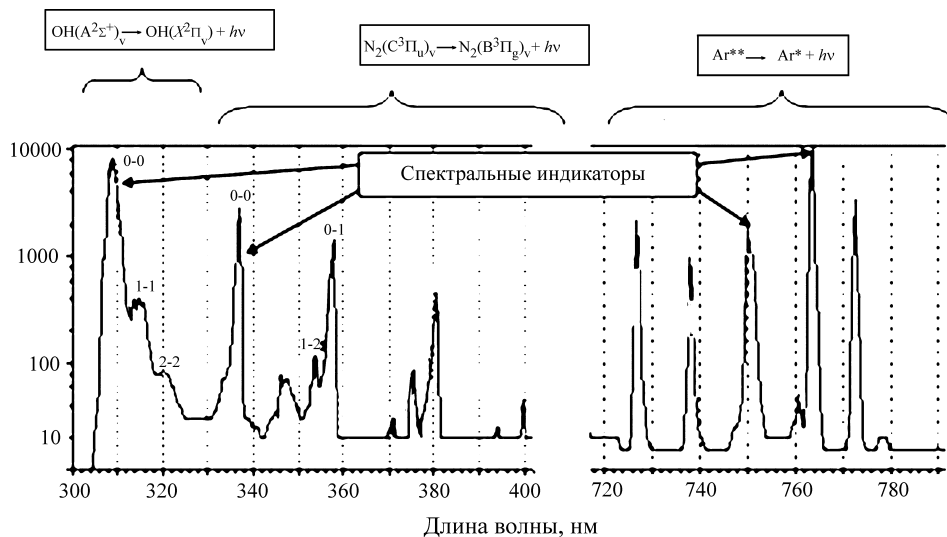
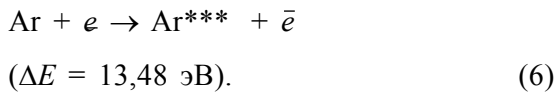
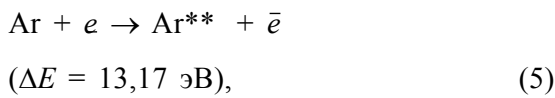


Рис. 3. Фрагменты спектра барьерного разряда во влажном аргоне ( $[H_2O]=220$  ppm)

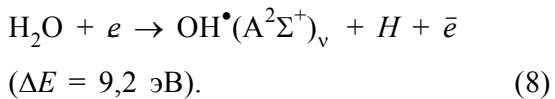
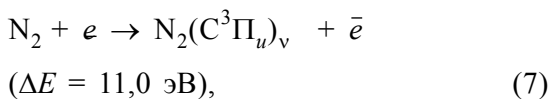
$OH^\bullet$  и  $N_2$ , для изучения радиационной кинетики плазмы разряда в рассматриваемых условиях мы выбрали следующие спектральные индикаторы:



Здесь и далее обозначение  $Ar^*$  использовано для метастабильных электронно-возбужденных состояний аргона, а обозначения  $Ar^{**}$  и  $Ar^{***}$  – для двух излучающих состояний с энергиями возбуждения, отличающимися друг от друга на 0,31 эВ:



Энергии возбуждения молекул  $N_2(C^3\Pi_u)$  и радикалов  $OH^\bullet(A^2\Sigma^+)$  в реакциях их образования из молекул  $N_2$  и  $H_2O$  прямым электронным ударом значительно ниже соответствующих значений для процессов (5), (6):



Таким образом, выбор спектральных индикаторов (1–4) соответствует диапазону пороговых энергий электронов для процессов (5)–(8) от 9,2 до 13,5 эВ. Если предположить, что механизм образования излучающих частиц в рассматриваемой

системе ограничивается уравнениями (5)–(8), то следует ожидать, что вид пространственно-временных распределений интенсивности излучения для выбранных спектральных индикаторов будет отражать динамику изменения электронной плотности и напряженности электрического поля в разрядном промежутке [4]. Соответствующие экспериментальные результаты представлены на рис. 4.

Необходимо отметить, что сканирование по пространству проводилось вдоль оси канала микроразряда в диапазоне от 0 до 3,8 мм, что в два раза превышает величину разрядного промежутка (1,9 мм). Таким образом, на рис. 4 показано распределение интенсивности излучения не только в межэлектродном зазоре, но и на поверхности диэлектрика, причем диапазон 0,9 мм на графиках рис. 4 фактически соответствует расстоянию ~5 мм по поверхности электродов в радиальном направлении.

При анализе представленных на рис. 4 результатов привлекает внимание сходство распределений для  $N_2(C^3\Pi_u)$  и  $OH^\bullet(A^2\Sigma^+)$ , максимумы которых локализованы вблизи поверхностей электродов, причем катодные максимумы возникают примерно на 50 нс раньше анодных. Наблюданное сходство пространственно-временных распределений интенсивности излучения, вызванного процессами (1), (2), можно объяснить следующим образом. На начальной стадии разряда происходит накопление атомов аргона в метастабильных электронно-возбужденных состояниях по реакциям (3), (4), а также в результате возбуждения прямым электронным ударом:



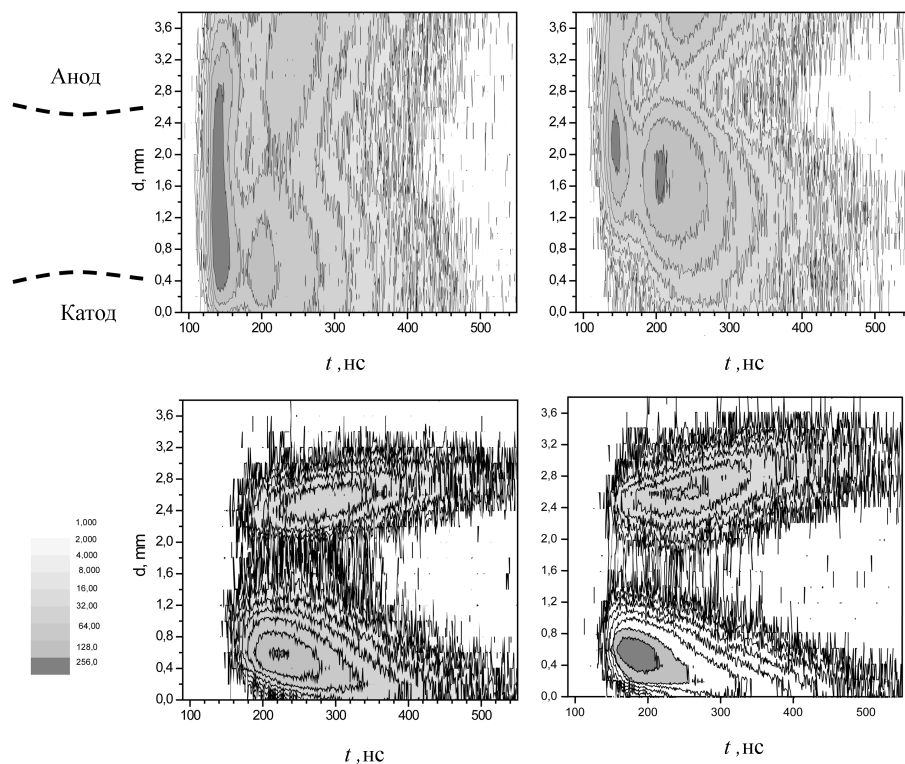
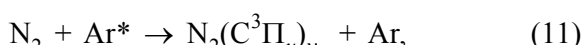


Рис. 4. Пространственно-временные распределения интенсивности излучения барьерного разряда во влажном аргоне для выбранных спектральных индикаторов

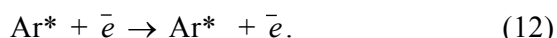
Если предположить, что основным каналом образования молекул  $N_2(C^3\Pi_u)$  и радикалов  $OH^{\bullet}(A^2\Sigma^+)$  являются процессы взаимодействия метастабильных электронно-возбужденных атомов  $Ar^*$  с молекулами воды и азота в основных состояниях



то следует ожидать, что пространственно-временные распределения концентраций рассматриваемых спектральных индикаторов будут зависеть только от локальных концентраций  $Ar^*$ . В этом случае наблюдаемые пространственно-временные распределения интенсивности излучения молекул  $N_2(C^3\Pi_u)$  и радикалов  $OH^{\bullet}(A^2\Sigma^+)$  должны быть похожими друг на друга и отражать динамику изменения локальных концентраций метастабильных электронно-возбужденных атомов аргона.

Пространственно-временные распределения интенсивности излучения для спектральных индикаторов  $Ar^{**}$  и  $Ar^{***}$  обладают более сложной структурой, две особенности которой следует рассмотреть подробно. Во-первых, это излучение происходит не только в разрядном промежутке, но и на поверхности электродов, причем разряд

заходит на электроды гораздо глубже, чем наблюданное свечение молекул  $N_2(C^3\Pi_u)$  и радикалов  $OH^{\bullet}(A^2\Sigma^+)$ . Во-вторых, эти распределения имеют два максимума по времени. Такая особенность рассматриваемых экспериментальных результатов свидетельствует о том, что, в отличие от барьерного разряда в воздухе, механизм которого включает в себя только одну катодо-направленную ионизационную волну [2, 4], разряд во влажном аргоне развивается в виде последовательности ионизационных волн. Аналогичный механизм электрического пробоя в аргоне был обнаружен авторами [6], показавшими, что, начиная со второй ионизационной волны, основным каналом размножения электронов становится процесс ионизации метастабильных атомов аргона, образовавшихся на начальных стадиях разряда:



Поскольку значение пороговой энергии процесса (12) ниже потенциала ионизации атомов Ar в основном электронном состоянии как минимум на 12 эВ, для формирования второй и последующих ионизационных волн достаточно наличия электрического поля, напряженность которого значительно

меньше начальной. Поэтому развитие микроразряда барьерного разряда в аргоне не прекращается после того, как первая ионизационная волна достигает катода, и напряженность электрического поля в разрядном промежутке падает, что наблюдается, например, в случае барьерного разряда в воздухе [2, 4]. Накопление электронно-возбужденных метастабильных атомов  $\text{Ar}^*$  в канале микроразряда обуславливает возможность формирования второй (анодо-направленной) ионизационной волны, которая возникает примерно через 50 нс после первой (катодо-направленной, см. рис. 4). Размножение электронов в анодо-направленной волне происходит по реакции (12), и следует ожидать, что и возбуждение излучающих состояний  $\text{Ar}^{**}$  и  $\text{Ar}^{***}$  протекает преимущественно в результате взаимодействия электронов с атомами  $\text{Ar}^*$ :

Работа выполнена при финансовой поддержке Минобразования РФ (проект № 2.1.2/6234 в рамках аналитической ведомственной целевой программы «Развитие научного потенциала высшей школы (2009-2010 годы)»).

#### СПИСОК ЛИТЕРАТУРЫ

1. *Dodet B., Odic E., Goldman A., Goldman M., Renard D.* // J. Adv. Oxid. Technol. 2005. **8**. N 1. P. 91.
2. *Wagner H.-E., Kozlov K.V., Brandenburg R.* Low Temperature Plasmas Fundamentals, Technologies and Techniques / Ed. R. Hippler, H. Kersten, M. Schmidt, K.H. Schoenbach. 2<sup>nd</sup> revised and enlarged ed. Berlin, 2008. P. 271.
3. *Becker W.* Advanced Time-Correlated Single Photon Counting Techniques. N.Y., 2005.
4. *Kozlov K. V., Wagner H.-E., Brandenburg R., Michel P.* // J. Phys. D: Appl. Phys. 2001. **34**. P. 3164.
5. *Бетохин С.С., Ермалицкий Ф.А., Мельников С.М., Суханин С.В., Шойтов М.А.* // Приборы и техника эксперимента. 1998. № 2. С. 5.
6. *Aleksandrov N.L., Bazelyan E.M., Gorunov A.Yu., Kochetov I.V.* // J. Phys. D: Appl. Phys. 1999. **32**. P. 2636.

Поступила в редакцию 23.11.09.

#### PLASMA DIAGNOSTICS OF THE BARRIER DISCHARGE IN HUMID ARGON BY CROSS-CORRELATION SPECTROSCOPY

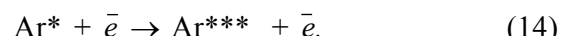
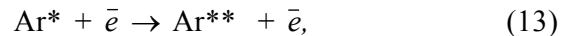
**P.A. Tatarenko, K.V. Kozlov, V.G. Samoylovich, M.V. Sokolova**

(Division of Physical Chemistry)

**Presented results of plasma diagnostics of the barrier discharge in humid argon were obtained by means of the method of cross-correlation spectroscopy. The emission spectrum of the barrier discharge in humid argon was determined. The development of a microdischarge in the system being considered is demonstrated to occur via a multiphase mechanism. The metastables of argon are shown to play a key role in this process.**

**Key words:** *barrier discharge, cross-correlation spectroscopy.*

**Сведения об авторах:** Татаренко Павел Александрович – мл. науч. сотр. кафедры физической химии химического факультета МГУ (paveltatarenko@mail.ru); Козлов Кирилл Вадимович – ст. науч. сотр. кафедры физической химии химического факультета МГУ (kozlov@kge.msu.ru), канд. хим. наук, доцент; Самойлович Вадим Георгиевич – ст. науч. сотр. кафедры физической химии химического факультета МГУ, канд. хим. наук (vadimsam@kge.msu.ru); Соколова Марина Владимировна – вед. научн. сотр. ГОУВПО МЭИ (ТУ), канд. техн. наук (sokolova@fee.mpei.ac.ru).



#### Заключение

Таким образом, в данной работе показано, что спектр излучения барьерного разряда во влажном аргоне в диапазоне длин волн от 200 до 800 нм помимо пиков аргона содержит также полосы излучения OH (A) и второй положительной системы азота.

Установлено, что развитие микроразрядов в рассматриваемой системе протекает по многостадийному, включающему в себя как минимум две ионизационные волны, механизму, ключевую роль в котором играют электронно-возбужденные метастабильные атомы аргона.